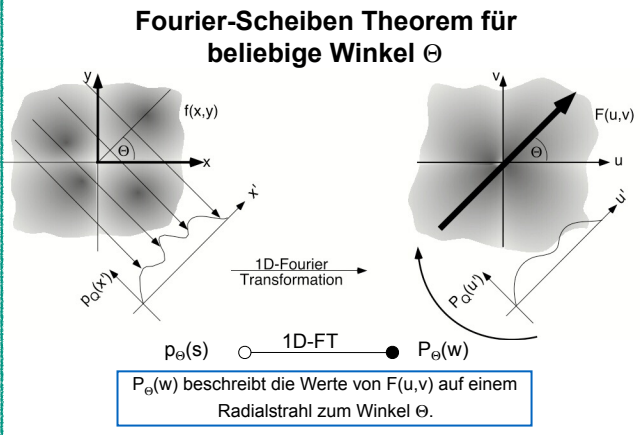
# Institut für Biomedizinische Technik

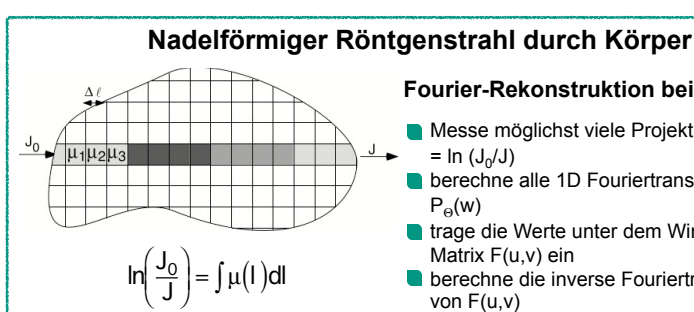
Kaiserstraße 12 · 76131 Karlsruhe · www.ibt.kit.edu

# Bildgebende Verfahren in der Medizin - Computertomographie (Teil 1) -

### **Radon-Transformation** e = Einheitsvektor in Richtung $\Theta$ $\int f(x,y)d\ell = p(\Theta,s)$ Θ = Winkel zwischen der Integrationslinie und der Normalen durch Null f(x,y) $p(\Theta,s)$ Radon Transformation

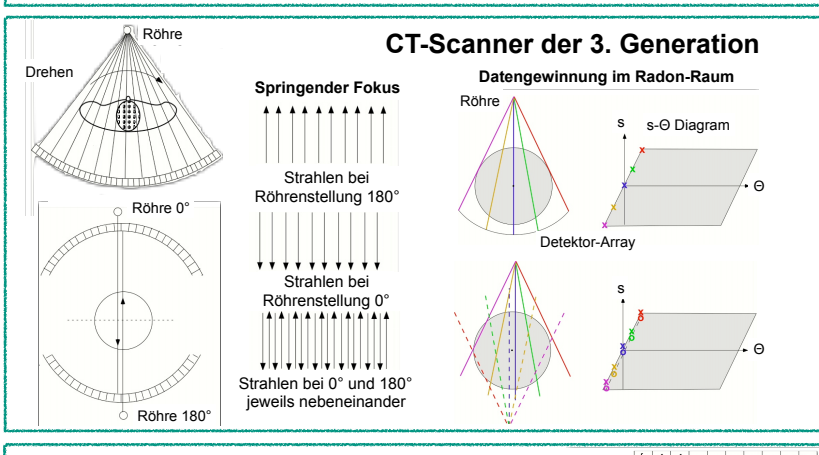


## Gefilterte Rückprojektion $f(x,y) = \int_{0}^{\pi} \left| \int_{-\infty}^{+\infty} P_{\Theta}(w) \cdot |w| \cdot e^{j \cdot 2\pi \cdot ws} dw \right| d\Theta$ $p_{\Theta}(s)$ $\circ$ - P<sub>Θ</sub>(w) ' | w Aufsummieren aller gefilterten Rückprojektionen: $\tilde{p}_{_{\Theta}}(s)$ ist eine gefilterte Projektion $\tilde{p}_2(s)$ $f(x,y) = \int \tilde{p}_{\Theta}(s)d\Theta$ $\tilde{\int} \tilde{p}_{\Theta}(x\cos\Theta + y\sin\Theta)d\Theta$ Prinzip der Rückprojektion: Zuerst wird das Bild mit "Nullen" initialisiert. Dann werden alle gefilterte Projektionen an der richtigen Stelle hinzuaddiert



## Fourier-Rekonstruktion bei der CT:

- Messe möglichst viele Projektionen p(Θ,s) =  $\ln (J_0/J)$
- berechne alle 1D Fouriertransformierten  $P_{\Theta}(w)$
- trage die Werte unter dem Winkel Θ in die Matrix F(u.v) ein
- berechne die inverse Fouriertransformierte von F(u.v)



### **Iterative Rekonstruktion**

$$\begin{aligned} p_1 &= w_{11} f_1 + w_{12} f_2 .... + w_{1N} f_N \\ p_2 &= w_{21} f_1 + w_{22} f_2 .... + w_{2N} f_N \\ \vdots \end{aligned}$$

 $p_{M} = w_{M1}f_{1} + w_{M2}f_{2} + w_{MN}f_{N}$ 

$$\vec{f}^{(k)} = \vec{f}^{(k-1)} - \frac{\left(\vec{f}^{T(k-1)} \cdot \vec{W}_k\right) - p_k}{\left(\vec{W}_k^T \cdot \vec{W}_k\right)} \cdot \vec{W}_k$$

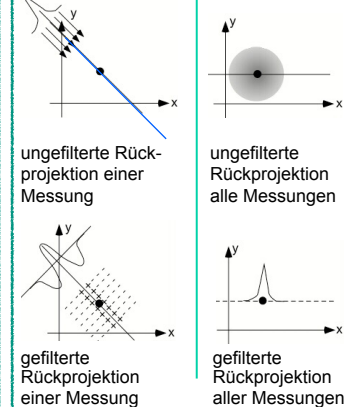
Gesucht wird das Array f. Gemessen werden die Linienintegrale p.

 $\vec{f}^{(k)} = \left(f_1^{(k)}, \dots, f_N^{(k)}\right)^T L \ddot{o}sungsvektor nach der k-ten Iteration$ 

 $\vec{w}_{i} = (w_{i1}, \dots, w_{iN})^{T}$  Gewichtsfaktoren zum Nadelstrahl j

p<sub>j</sub> = Messwert zum Nadelstrahl j

### Vergleich ungefilterte und gefilterte Rückprojektion

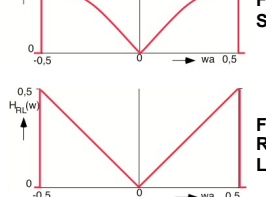


## **Filterfunktion**

Problem: |w| wird zu großen w immer größer! außerdem: durch das digitale Abtasten sind Raumfrequenzen oberhalb von 1/(2\Deltas) nicht bekannt!

Lösung: Ersetze H(w)=|w| durch eine andere Filterfunktion H<sub>SL</sub>(w) oder H<sub>RL</sub>(w)

$$\tilde{p}_{\Theta}(s) = \int P_{\Theta}(w) \cdot H(w) \cdot e^{j \cdot 2\pi \cdot ws} dw$$



Filterfunktion nach Shepp und Logan

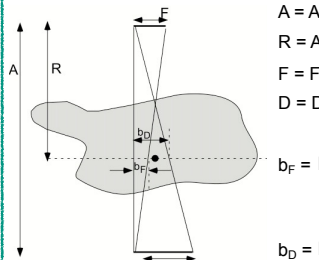
Filterfunktion nach Ramachandran und Lakshminarayanan

### Verständnisfragen

- Erklären Sie das Fourierscheiben-Theorem.
- Welche Größe wird bei der CT in einer Projektion  $p(\theta,s)$  gemessen?
- Beschreiben Sie die Methode der gefilterten Rückprojektion.
- Argumentieren Sie Vor- und Nachteile der in der CT verwendeten Filter von Shepp & Logan bzw. von Ramachandran und Lakshminarayanan für die gefilterte Rückprojektion.
- Erklären Sie kurz die wichtigsten Schritte der iterativen Rekonstruktion von CT-Aufnahmen.

# Bildgebende Verfahren in der Medizin - Computertomographie (Teil 2) -

### Verlauf der Röntgenstrahlen im CT-Scanner



- A = Abstand Röhre/Detektor
- R = Abstand Röhre/Rotationszentrum
- F = Fokusgröße in der Röhre
- D = Detektorgröße



effektive Detektoraröße im

#### MTF und Rauschen bei der CT

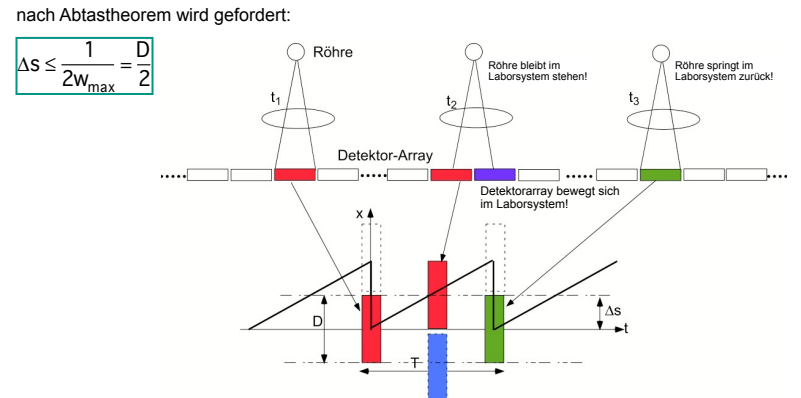
MTF <sub>CT</sub> (w)=	$\frac{\sin(\pi b_F w)}{\sin(\pi b_F w)}$	$\sin(\pi b_D w)$	$\int \sin(\pi\Delta sw)$	2 <u> H(w) </u>
	$\pi b_F w$	$\pi b_D^{W}$	π∆sw	w

- Die MTF der CT ist ein Produkt aus
  - einer sinc Funktion mit der effektiven Fokusgröße als Argument,
  - einer sinc Funktion mit der effektiven Detektorgröße als Argument,
  - einer sinc<sup>2</sup> Funktion mit dem Abtastabstand als Argument,
  - dem Quotienten aus der Filterfunktion H(w) und |w|

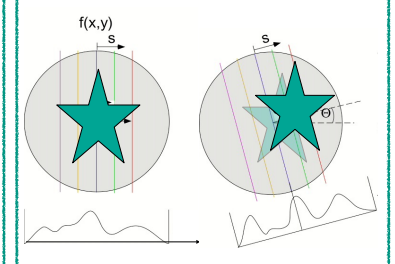
$$\sigma_{Pixel}^2 = \frac{\pi^2 \cdot \Delta s}{M} \cdot \frac{1}{\overline{N}} \int_{-w_{\text{max}}}^{+w_{\text{max}}} |H(w)|^2 dw$$

- Das Rauschen bei der CT steigt linear mit
  - ■dem Abtastabstand ∆s
  - der Fläche unter der Filterfunktion H(w)
- Das Rauschen bei der CT fällt mit 1/x
- mit der Zahl der gemessenen Projektionen M
- mit der mittleren Zahl der Röntgenquanten pro Bildpunkt N.

# "Springender Fokus"



#### Bewegungsartefakte



Aufgrund der Patientenbewegung während der Aufnahme von 180° Projektionen entstehen "Stars" und "stripes" über das ganze Bild.

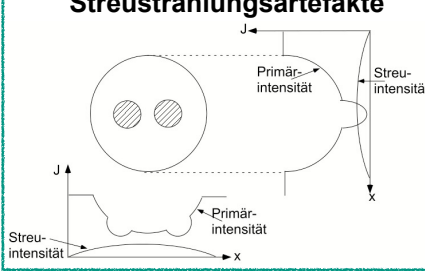
### Artefakt durch stark absorbierende Objekte

- stark absorbierende Objekte sind z.B.
  - eine künstliche Hüfte
  - Zahnfüllungen.



- Problem: "Null ist Null" (dynamic range, least significant bit) —> "stars" und "stripes"
- eine Chance, diese Artefakte zu korrigieren:
  - finde Sinuswellen mit kleiner Intensität im
  - ersetze die Null-Werte im Radonraum durch den Mittelwert (oder Median) der Nachbarn.

## Streustrahlungsartefakte



# **Teilvolumenartefakte** unterschiedliche Werte für $\mu_{\text{eff}}$ in x- und y-Richtung $J_0 \cdot e^{-\mu_1 \Delta x} - \mu_2 \Delta x$ >>> inkonsistente Datensätze!

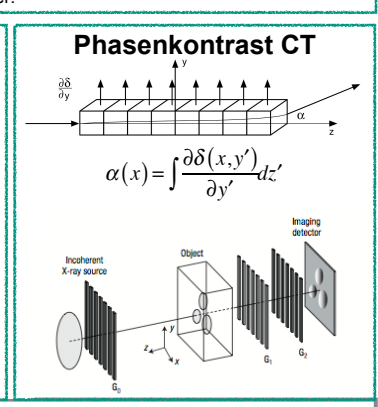
# Strahlaufhärtung $J = \int \frac{dJ_0(E)}{dE} \cdot e^{-\frac{1}{2}}$ Das Spektrum ändert sich aber beim Durchgang durch

### Hounsfield-Einheit

$$CT - Zahl = \frac{\mu - \mu_{Wasser}}{\mu_{Wasser}} \cdot 1000 \ [HU]$$

# Spiral-CT Erzeugung interpolierter planerer Schichten

# CT vom schlagenden Herzen 4D-Imaging (3D plus time)



#### Verständnisfragen

- Beschreiben Sie vier wichtige Artefakte bei der CT. Welche Gegenmaßnahmen sind möglich?
- Von welchen Größen hängt das Rauschen bei der CT-Aufnahme ab?
- Erläutern Sie die CT Aufnahme mit einem "Springenden Fokus".
- Was versteht man unter Spiral-CT? Wie werden die Projektionen für die Rekonstruktion gewonnen?
- Was versteht man unter Mehrzeilen-CT? Was ist das Problem bei der Bildrekonstruktion?
- Erklären Sie kurz das Prinzip der Phasenkontrast CT.